

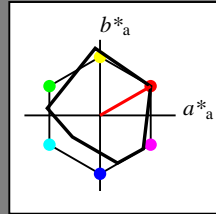
## Eingabe: Farbmatisches Reflexions-System MRS18

für Buntton  $h^* = lab^*h = 30/360 = 0.083$  $lab^*ich$  und  $lab^*nch$ 

D65: Buntton R

LCH\*Ma: 50 77 30

rgb\*Ma: 1.0 0.0 0.0

Dreiecks-Helligkeit  $t^*$ 

%Umfang

 $u^*_{rel} = 91$ 

%Regularität

 $g^*_{H,rel} = 41$  $g^*_{C,rel} = 52$ 

## MRS18; adaptierte CIELAB-Daten

	$L^*=L^*_a$	$a^*_a$	$b^*_a$	$C^*_{ab,a}$	$h^*_{ab,a}$
RMa	49.63	66.96	38.37	77.18	30
JMa	90.7	-6.36	88.75	88.98	94
GMa	52.11	-69.73	9.44	70.37	172
G50BMa	45.03	-36.57	-28.47	46.36	218
BMa	36.65	23.19	-63.05	67.18	290
B50RMa	34.94	57.17	-44.26	72.31	322
NMa	18.01	0.0	0.0	0.0	0
WMa	95.41	0.0	0.0	0.0	0
RCIE	39.92	58.66	26.98	64.56	25
JCIE	81.26	-2.17	67.76	67.79	92
GCIE	52.23	-42.26	11.75	43.87	164
BCIE	30.57	1.15	-46.84	46.87	271

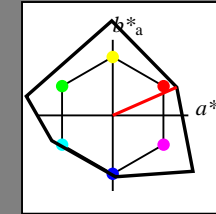
## Ausgabe: Farbmatisches Reflexions-System NCS11

für Buntton  $h^* = lab^*h = 24/360 = 0.066$  $lab^*ich$  und  $lab^*nch$ 

D65: Buntton R

LCH\*Ma: 47 92 24

rgb\*Ma: 1.0 0.0 0.0

Dreiecks-Helligkeit  $t^*$ 

%Umfang

 $u^*_{rel} = 149$ 

%Regularität

 $g^*_{H,rel} = 46$  $g^*_{C,rel} = 65$ 

## NCS11; adaptierte CIELAB-Daten

	$L^*=L^*_a$	$a^*_a$	$b^*_a$	$C^*_{ab,a}$	$h^*_{ab,a}$
RMa	47.15	84.64	37.25	92.48	24
JMa	91.37	-1.27	125.03	125.03	91
GMa	63.07	-114.28	25.35	117.06	167
G50BMa	59.47	-80.6	-33.45	87.28	203
BMa	49.01	3.65	-81.19	81.28	273
B50RMa	44.06	106.09	-73.93	129.32	325
NMa	10.99	0.0	0.0	0.0	0
WMa	95.41	0.0	0.0	0.0	0
RCIE	39.92	58.69	27.98	65.01	25
JCIE	81.26	-2.9	71.56	71.62	92
GCIE	52.23	-42.45	13.59	44.59	162
BCIE	30.57	1.35	-46.48	46.51	272

1,00

0,75

0,50

0,25

0,00

 $n^* = 1,00$ 

0,25

 $n^* = 0,50$ relative Buntheit  $c^*$  $n^* = 0,00$ Schwarzheit  $n^*$ 

1,00

0,75

0,50

0,25

0,00

 $n^* = 1,00$ 

0,25

 $n^* = 0,50$  $n^* = 0,25$  $n^* = 0,00$ Schwarzheit  $n^*$ relative Buntheit  $c^*$ 

TG630-7, 3stufige Reihen für konstanten CIELAB Buntton 30/360 = 0.083 (links)

5stufige Reihen für konstanten CIELAB Buntton 24/360 = 0.066 (rechts)

BAM-Prüfvorlage TG63; Farbmatrik-Systeme ORS18 & ORS18 input:  $olv^* setrgbcolor$ 

D65: 3 und 5stufige Farbreihen für 10 Bunttöne

output: Startup (S) data dependend

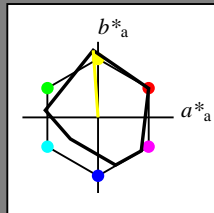
## Eingabe: Farbmétrisches Reflexions-System MRS18

für Buntton  $h^* = lab^*h = 94/360 = 0.261$  $lab^*ich$  und  $lab^*nch$ 

D65: Buntton J

LCH\*Ma: 91 89 94

rgb\*Ma: 1.0 1.0 0.0

Dreiecks-Helligkeit  $t^*$ 

%Umfang

 $u^*_{rel} = 91$ 

%Regularität

 $g^*_{H,rel} = 41$  $g^*_{C,rel} = 52$ 

## MRS18; adaptierte CIELAB-Daten

	$L^*=L^*_a$	$a^*_a$	$b^*_a$	$C^*_{ab,a}$	$h^*_{ab,a}$
RMa	49.63	66.96	38.37	77.18	30
JMa	90.7	-6.36	88.75	88.98	94
GMa	52.11	-69.73	9.44	70.37	172
G50BMa	45.03	-36.57	-28.47	46.36	218
BMa	36.65	23.19	-63.05	67.18	290
B50RMa	34.94	57.17	-44.26	72.31	322
NMa	18.01	0.0	0.0	0.0	0
WMa	95.41	0.0	0.0	0.0	0
RCIE	39.92	58.66	26.98	64.56	25
JCIE	81.26	-2.17	67.76	67.79	92
GCIE	52.23	-42.26	11.75	43.87	164
BCIE	30.57	1.15	-46.84	46.87	271

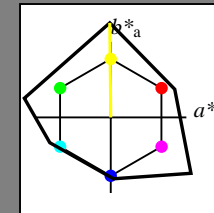
## Ausgabe: Farbmétrisches Reflexions-System NCS11

für Buntton  $h^* = lab^*h = 91/360 = 0.252$  $lab^*ich$  und  $lab^*nch$ 

D65: Buntton J

LCH\*Ma: 91 125 91

rgb\*Ma: 1.0 1.0 0.0

Dreiecks-Helligkeit  $t^*$ 

%Umfang

 $u^*_{rel} = 149$ 

%Regularität

 $g^*_{H,rel} = 46$  $g^*_{C,rel} = 65$ 

## NCS11; adaptierte CIELAB-Daten

	$L^*=L^*_a$	$a^*_a$	$b^*_a$	$C^*_{ab,a}$	$h^*_{ab,a}$
RMa	47.15	84.64	37.25	92.48	24
JMa	91.37	-1.27	125.03	125.03	91
GMa	63.07	-114.28	25.35	117.06	167
G50BMa	59.47	-80.6	-33.45	87.28	203
BMa	49.01	3.65	-81.19	81.28	273
B50RMa	44.06	106.09	-73.93	129.32	325
NMa	10.99	0.0	0.0	0.0	0
WMa	95.41	0.0	0.0	0.0	0
RCIE	39.92	58.69	27.98	65.01	25
JCIE	81.26	-2.9	71.56	71.62	92
GCIE	52.23	-42.45	13.59	44.59	162
BCIE	30.57	1.35	-46.48	46.51	272

1,00

0,75

0,50

0,25

0,00

 $n^* = 1,00$ 

0,25

 $n^* = 0,50$ relative Buntheit  $c^*$  $n^* = 0,00$ Schwarzheit  $n^*$ 

1,00

0,75

0,50

0,25

0,00

 $n^* = 1,00$ 

0,25

 $n^* = 0,50$  $n^* = 0,25$  $n^* = 0,00$ relative Buntheit  $c^*$ Schwarzheit  $n^*$ 

TG630-7, 3stufige Reihen für konstanten CIELAB Buntton 94/360 = 0.261 (links)

5stufige Reihen für konstanten CIELAB Buntton 91/360 = 0.252 (rechts)

BAM-Prüfvorlage TG63; Farbmétrik-Systeme ORS18 & ORS18 input:  $olv^* setrgbcolor$ 

D65: 3 und 5stufige Farbreihen für 10 Bunttöne

output: Startup (S) data dependend

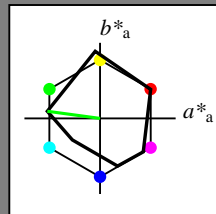
## Eingabe: Farbmatisches Reflexions-System MRS18

für Buntton  $h^* = lab^*h = 172/360 = 0.479$  $lab^*ich$  und  $lab^*nch$ 

D65: Buntton G

LCH\*Ma: 52 70 172

rgb\*Ma: 0.0 1.0 0.0

Dreiecks-Helligkeit  $t^*$ 

%Umfang

 $u^*_{rel} = 91$ 

%Regularität

 $g^*_{H,rel} = 41$  $g^*_{C,rel} = 52$ 

## MRS18; adaptierte CIELAB-Daten

	$L^*=L^*_a$	$a^*_a$	$b^*_a$	$C^*_{ab,a}$	$h^*_{ab,a}$
RMa	49.63	66.96	38.37	77.18	30
JMa	90.7	-6.36	88.75	88.98	94
GMa	52.11	-69.73	9.44	70.37	172
G50BMa	45.03	-36.57	-28.47	46.36	218
BMa	36.65	23.19	-63.05	67.18	290
B50RMa	34.94	57.17	-44.26	72.31	322
NMa	18.01	0.0	0.0	0.0	0
WMa	95.41	0.0	0.0	0.0	0
RCIE	39.92	58.66	26.98	64.56	25
JCIE	81.26	-2.17	67.76	67.79	92
GCIE	52.23	-42.26	11.75	43.87	164
BCIE	30.57	1.15	-46.84	46.87	271

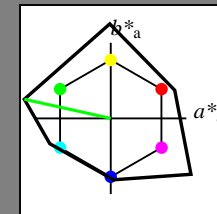
## Ausgabe: Farbmatisches Reflexions-System NCS11

für Buntton  $h^* = lab^*h = 167/360 = 0.465$  $lab^*ich$  und  $lab^*nch$ 

D65: Buntton G

LCH\*Ma: 63 117 167

rgb\*Ma: 0.0 1.0 0.0

Dreiecks-Helligkeit  $t^*$ 

%Umfang

 $u^*_{rel} = 149$ 

%Regularität

 $g^*_{H,rel} = 46$  $g^*_{C,rel} = 65$ 

## NCS11; adaptierte CIELAB-Daten

	$L^*=L^*_a$	$a^*_a$	$b^*_a$	$C^*_{ab,a}$	$h^*_{ab,a}$
RMa	47.15	84.64	37.25	92.48	24
JMa	91.37	-1.27	125.03	125.03	91
GMa	63.07	-114.28	25.35	117.06	167
G50BMa	59.47	-80.6	-33.45	87.28	203
BMa	49.01	3.65	-81.19	81.28	273
B50RMa	44.06	106.09	-73.93	129.32	325
NMa	10.99	0.0	0.0	0.0	0
WMa	95.41	0.0	0.0	0.0	0
RCIE	39.92	58.69	27.98	65.01	25
JCIE	81.26	-2.9	71.56	71.62	92
GCIE	52.23	-42.45	13.59	44.59	162
BCIE	30.57	1.35	-46.48	46.51	272

1,00

0,75

0,50

0,25

0,00

 $n^* = 1,00$ 

0,25

 $n^* = 0,50$ 

0,75

1,00

relative Buntheit  $c^*$ Schwarzheit  $n^*$ 

1,00

0,75

0,50

0,25

0,00

 $n^* = 1,00$ 

0,25

 $n^* = 0,50$ 

0,75

1,00

relative Buntheit  $c^*$ Schwarzheit  $n^*$  $n^* = 0,00$  $n^* = 0,25$  $n^* = 0,75$ 

TG630-7, 3stufige Reihen für konstanten CIELAB Buntton 172/360 = 0.479 (links)

5stufige Reihen für konstanten CIELAB Buntton 167/360 = 0.465 (rechts)

BAM-Prüfvorlage TG63; Farbmatrik-Systeme ORS18 & ORS18 input:  $olv^* setrgbcolor$ 

D65: 3 und 5stufige Farbreihen für 10 Bunttöne

output: Startup (S) data dependend

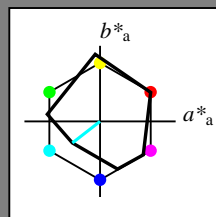
## Eingabe: Farbmatisches Reflexions-System MRS18

für Buntton  $h^* = lab^*h = 218/360 = 0.605$  $lab^*ich$  und  $lab^*nch$ 

D65: Buntton G50B

LCH\*Ma: 45 46 218

rgb\*Ma: 0.0 1.0 1.0

Dreiecks-Helligkeit  $t^*$ 

%Umfang

 $u^*_{rel} = 91$ 

%Regularität

 $g^*_{H,rel} = 41$  $g^*_{C,rel} = 52$ 

## MRS18; adaptierte CIELAB-Daten

	$L^*=L^*_a$	$a^*_a$	$b^*_a$	$C^*_{ab,a}$	$h^*_{ab,a}$
RMa	49.63	66.96	38.37	77.18	30
JMa	90.7	-6.36	88.75	88.98	94
GMa	52.11	-69.73	9.44	70.37	172
G50BMa	45.03	-36.57	-28.47	46.36	218
BMa	36.65	23.19	-63.05	67.18	290
B50RMa	34.94	57.17	-44.26	72.31	322
NMa	18.01	0.0	0.0	0.0	0
WMa	95.41	0.0	0.0	0.0	0
RCIE	39.92	58.66	26.98	64.56	25
JCIE	81.26	-2.17	67.76	67.79	92
GCIE	52.23	-42.26	11.75	43.87	164
BCIE	30.57	1.15	-46.84	46.87	271

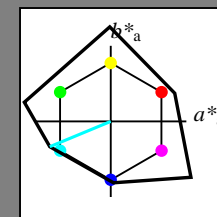
## Ausgabe: Farbmatisches Reflexions-System NCS11

für Buntton  $h^* = lab^*h = 203/360 = 0.563$  $lab^*ich$  und  $lab^*nch$ 

D65: Buntton G50B

LCH\*Ma: 59 87 203

rgb\*Ma: 0.0 1.0 1.0

Dreiecks-Helligkeit  $t^*$ 

%Umfang

 $u^*_{rel} = 149$ 

%Regularität

 $g^*_{H,rel} = 46$  $g^*_{C,rel} = 65$ 

## NCS11; adaptierte CIELAB-Daten

	$L^*=L^*_a$	$a^*_a$	$b^*_a$	$C^*_{ab,a}$	$h^*_{ab,a}$
RMa	47.15	84.64	37.25	92.48	24
JMa	91.37	-1.27	125.03	125.03	91
GMa	63.07	-114.28	25.35	117.06	167
G50BMa	59.47	-80.6	-33.45	87.28	203
BMa	49.01	3.65	-81.19	81.28	273
B50RMa	44.06	106.09	-73.93	129.32	325
NMa	10.99	0.0	0.0	0.0	0
WMa	95.41	0.0	0.0	0.0	0
RCIE	39.92	58.69	27.98	65.01	25
JCIE	81.26	-2.9	71.56	71.62	92
GCIE	52.23	-42.45	13.59	44.59	162
BCIE	30.57	1.35	-46.48	46.51	272

1,00

0,75

0,50

0,25

0,00

 $n^* = 1,00$  $n^* = 0,50$  $n^* = 0,00$ Schwarzheit  $n^*$ relative Buntheit  $c^*$ 

1,00

0,75

0,50

0,25

0,00

 $n^* = 1,00$  $n^* = 0,75$  $n^* = 0,50$  $n^* = 0,25$  $n^* = 0,00$ Schwarzheit  $n^*$ relative Buntheit  $c^*$ 

TG630-7, 3stufige Reihen für konstanten CIELAB Buntton 218/360 = 0.605 (links)

5stufige Reihen für konstanten CIELAB Buntton 203/360 = 0.563 (rechts)

BAM-Prüfvorlage TG63; Farbmatrik-Systeme ORS18 & ORS18 input:  $olv^* setrgbcolor$ 

D65: 3 und 5stufige Farbreihen für 10 Bunttöne

output: Startup (S) data dependend

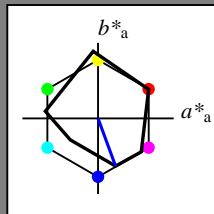
## Eingabe: Farbmatisches Reflexions-System MRS18

für Buntton  $h^* = lab^*h = 290/360 = 0.806$  $lab^*ich$  und  $lab^*nch$ 

D65: Buntton B

LCH\*Ma: 37 67 290

rgb\*Ma: 0.0 0.0 1.0

Dreiecks-Helligkeit  $t^*$ 

%Umfang

 $u^*_{rel} = 91$ 

%Regularität

 $g^*_{H,rel} = 41$  $g^*_{C,rel} = 52$ 

## MRS18; adaptierte CIELAB-Daten

	$L^*=L^*_a$	$a^*_a$	$b^*_a$	$C^*_{ab,a}$	$h^*_{ab,a}$
RMa	49.63	66.96	38.37	77.18	30
JMa	90.7	-6.36	88.75	88.98	94
GMa	52.11	-69.73	9.44	70.37	172
G50BMa	45.03	-36.57	-28.47	46.36	218
BMa	36.65	23.19	-63.05	67.18	290
B50RMa	34.94	57.17	-44.26	72.31	322
NMa	18.01	0.0	0.0	0.0	0
WMa	95.41	0.0	0.0	0.0	0
RCIE	39.92	58.66	26.98	64.56	25
JCIE	81.26	-2.17	67.76	67.79	92
GCIE	52.23	-42.26	11.75	43.87	164
BCIE	30.57	1.15	-46.84	46.87	271

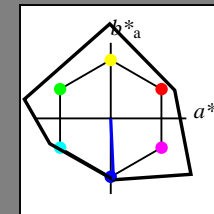
## Ausgabe: Farbmatisches Reflexions-System NCS11

für Buntton  $h^* = lab^*h = 273/360 = 0.757$  $lab^*ich$  und  $lab^*nch$ 

D65: Buntton B

LCH\*Ma: 49 81 273

rgb\*Ma: 0.0 0.0 1.0

Dreiecks-Helligkeit  $t^*$ 

%Umfang

 $u^*_{rel} = 149$ 

%Regularität

 $g^*_{H,rel} = 46$  $g^*_{C,rel} = 65$ 

## NCS11; adaptierte CIELAB-Daten

	$L^*=L^*_a$	$a^*_a$	$b^*_a$	$C^*_{ab,a}$	$h^*_{ab,a}$
RMa	47.15	84.64	37.25	92.48	24
JMa	91.37	-1.27	125.03	125.03	91
GMa	63.07	-114.28	25.35	117.06	167
G50BMa	59.47	-80.6	-33.45	87.28	203
BMa	49.01	3.65	-81.19	81.28	273
B50RMa	44.06	106.09	-73.93	129.32	325
NMa	10.99	0.0	0.0	0.0	0
WMa	95.41	0.0	0.0	0.0	0
RCIE	39.92	58.69	27.98	65.01	25
JCIE	81.26	-2.9	71.56	71.62	92
GCIE	52.23	-42.45	13.59	44.59	162
BCIE	30.57	1.35	-46.48	46.51	272

1,00

0,75

0,50

0,25

0,00

 $n^* = 1,00$  $n^* = 0,50$  $n^* = 0,00$ Schwarzheit  $n^*$ relative Buntheit  $c^*$ 

1,00

0,75

0,50

0,25

0,00

 $n^* = 1,00$  $n^* = 0,75$  $n^* = 0,50$  $n^* = 0,25$  $n^* = 0,00$ Schwarzheit  $n^*$ relative Buntheit  $c^*$ 

TG630-7, 3stufige Reihen für konstanten CIELAB Buntton 290/360 = 0.806 (links)

5stufige Reihen für konstanten CIELAB Buntton 273/360 = 0.757 (rechts)

BAM-Prüfvorlage TG63; Farbmatrik-Systeme ORS18 & ORS18 input:  $olv^* setrgbcolor$ 

D65: 3 und 5stufige Farbreihen für 10 Bunttöne

output: Startup (S) data dependend

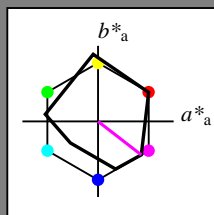
## Eingabe: Farbmatisches Reflexions-System MRS18

für Buntton  $h^* = lab^*h = 322/360 = 0.895$  $lab^*ich$  und  $lab^*nch$ 

D65: Buntton B50R

LCH\*Ma: 35 72 322

rgb\*Ma: 1.0 0.0 1.0

Dreiecks-Helligkeit  $t^*$ 

%Umfang

 $u^*_{rel} = 91$ 

%Regularität

 $g^*_{H,rel} = 41$  $g^*_{C,rel} = 52$ 

## MRS18; adaptierte CIELAB-Daten

	$L^*=L^*_a$	$a^*_a$	$b^*_a$	$C^*_{ab,a}$	$h^*_{ab,a}$
RMa	49.63	66.96	38.37	77.18	30
JMa	90.7	-6.36	88.75	88.98	94
GMa	52.11	-69.73	9.44	70.37	172
G50BMa	45.03	-36.57	-28.47	46.36	218
BMa	36.65	23.19	-63.05	67.18	290
B50RMa	34.94	57.17	-44.26	72.31	322
NMa	18.01	0.0	0.0	0.0	0
WMa	95.41	0.0	0.0	0.0	0
RCIE	39.92	58.66	26.98	64.56	25
JCIE	81.26	-2.17	67.76	67.79	92
GCIE	52.23	-42.26	11.75	43.87	164
BCIE	30.57	1.15	-46.84	46.87	271

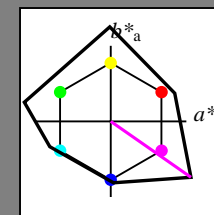
## Ausgabe: Farbmatisches Reflexions-System NCS11

für Buntton  $h^* = lab^*h = 325/360 = 0.903$  $lab^*ich$  und  $lab^*nch$ 

D65: Buntton B50R

LCH\*Ma: 44 129 325

rgb\*Ma: 1.0 0.0 1.0

Dreiecks-Helligkeit  $t^*$ 

%Umfang

 $u^*_{rel} = 149$ 

%Regularität

 $g^*_{H,rel} = 46$  $g^*_{C,rel} = 65$ 

## NCS11; adaptierte CIELAB-Daten

	$L^*=L^*_a$	$a^*_a$	$b^*_a$	$C^*_{ab,a}$	$h^*_{ab,a}$
RMa	47.15	84.64	37.25	92.48	24
JMa	91.37	-1.27	125.03	125.03	91
GMa	63.07	-114.28	25.35	117.06	167
G50BMa	59.47	-80.6	-33.45	87.28	203
BMa	49.01	3.65	-81.19	81.28	273
B50RMa	44.06	106.09	-73.93	129.32	325
NMa	10.99	0.0	0.0	0.0	0
WMa	95.41	0.0	0.0	0.0	0
RCIE	39.92	58.69	27.98	65.01	25
JCIE	81.26	-2.9	71.56	71.62	92
GCIE	52.23	-42.45	13.59	44.59	162
BCIE	30.57	1.35	-46.48	46.51	272

1,00

0,75

0,50

0,25

0,00

 $n^* = 1,00$ 

0,25

0,50

0,75

1,00

relative Buntheit  $c^*$  $n^* = 0,50$  $n^* = 0,00$ Schwarzheit  $n^*$ 

1,00

0,75

0,50

0,25

0,00

 $n^* = 1,00$ 

0,25

0,50

0,75

relative Buntheit  $c^*$  $n^* = 0,50$  $n^* = 0,25$  $n^* = 0,00$ Schwarzheit  $n^*$ 

TG630-7, 3stufige Reihen für konstanten CIELAB Buntton 322/360 = 0.895 (links)

5stufige Reihen für konstanten CIELAB Buntton 325/360 = 0.903 (rechts)

BAM-Prüfvorlage TG63; Farbmatrik-Systeme ORS18 & ORS18 input:  $olv^* setrgbcolor$ 

D65: 3 und 5stufige Farbreihen für 10 Bunttöne

output: Startup (S) data dependend

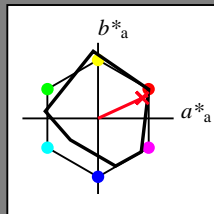
## Eingabe: Farbmatisches Reflexions-System MRS18

für Buntton  $h^* = lab^*h = 25/360 = 0.069$  $lab^*ich$  und  $lab^*nch$ 

D65: Buntton R

LCH\*Ma: 48 73 25

rgb\*Ma: 1.0 0.0 0.1

Dreiecks-Helligkeit  $t^*$ 

%Umfang

 $u^*_{rel} = 91$ 

%Regularität

 $g^*_{H,rel} = 41$  $g^*_{C,rel} = 52$ 

## MRS18; adaptierte CIELAB-Daten

	$L^*=L^*_a$	$a^*_a$	$b^*_a$	$C^*_{ab,a}$	$h^*_{ab,a}$
RMa	49.63	66.96	38.37	77.18	30
JMa	90.7	-6.36	88.75	88.98	94
GMa	52.11	-69.73	9.44	70.37	172
G50BMa	45.03	-36.57	-28.47	46.36	218
BMa	36.65	23.19	-63.05	67.18	290
B50RMa	34.94	57.17	-44.26	72.31	322
NMa	18.01	0.0	0.0	0.0	0
WMa	95.41	0.0	0.0	0.0	0
RCIE	39.92	58.66	26.98	64.56	25
JCIE	81.26	-2.17	67.76	67.79	92
GCIE	52.23	-42.26	11.75	43.87	164
BCIE	30.57	1.15	-46.84	46.87	271

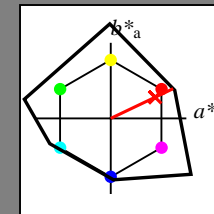
## Ausgabe: Farbmatisches Reflexions-System NCS11

für Buntton  $h^* = lab^*h = 25/360 = 0.071$  $lab^*ich$  und  $lab^*nch$ 

D65: Buntton R

LCH\*Ma: 48 91 25

rgb\*Ma: 1.0 0.02 0.0

Dreiecks-Helligkeit  $t^*$ 

%Umfang

 $u^*_{rel} = 149$ 

%Regularität

 $g^*_{H,rel} = 46$  $g^*_{C,rel} = 65$ 

## NCS11; adaptierte CIELAB-Daten

	$L^*=L^*_a$	$a^*_a$	$b^*_a$	$C^*_{ab,a}$	$h^*_{ab,a}$
RMa	47.15	84.64	37.25	92.48	24
JMa	91.37	-1.27	125.03	125.03	91
GMa	63.07	-114.28	25.35	117.06	167
G50BMa	59.47	-80.6	-33.45	87.28	203
BMa	49.01	3.65	-81.19	81.28	273
B50RMa	44.06	106.09	-73.93	129.32	325
NMa	10.99	0.0	0.0	0.0	0
WMa	95.41	0.0	0.0	0.0	0
RCIE	39.92	58.69	27.98	65.01	25
JCIE	81.26	-2.9	71.56	71.62	92
GCIE	52.23	-42.45	13.59	44.59	162
BCIE	30.57	1.35	-46.48	46.51	272

1,00

0,75

0,50

0,25

0,00

 $n^* = 1,00$  $n^* = 0,50$  $n^* = 0,00$ Schwarzheit  $n^*$ relative Buntheit  $c^*$ 

1,00

0,75

0,50

0,25

0,00

 $n^* = 1,00$  $n^* = 0,75$  $n^* = 0,50$  $n^* = 0,25$  $n^* = 0,00$ Schwarzheit  $n^*$ relative Buntheit  $c^*$ 

TG630-7, 3stufige Reihen für konstanten CIELAB Buntton 25/360 = 0.069 (links)

5stufige Reihen für konstanten CIELAB Buntton 25/360 = 0.071 (rechts)

BAM-Prüfvorlage TG63; Farbmatrik-Systeme ORS18 & ORS18 input:  $olv^* setrgbcolor$ 

D65: 3 und 5stufige Farbreihen für 10 Bunttöne

output: Startup (S) data dependend



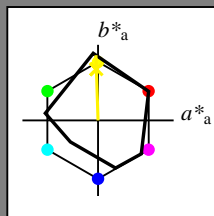
## Eingabe: Farbmatisches Reflexions-System MRS18

für Buntton  $h^* = lab^*h = 92/360 = 0.255$  $lab^*ich$  und  $lab^*nch$ 

D65: Buntton J

LCH\*Ma: 89 86 92

rgb\*Ma: 1.0 0.95 0.0

Dreiecks-Helligkeit  $t^*$ 

%Umfang

 $u^*_{rel} = 91$ 

%Regularität

 $g^*_{H,rel} = 41$  $g^*_{C,rel} = 52$ 

## MRS18; adaptierte CIELAB-Daten

	$L^*=L^*_a$	$a^*_a$	$b^*_a$	$C^*_{ab,a}$	$h^*_{ab,a}$
RMa	49.63	66.96	38.37	77.18	30
JMa	90.7	-6.36	88.75	88.98	94
GMa	52.11	-69.73	9.44	70.37	172
G50BMa	45.03	-36.57	-28.47	46.36	218
BMa	36.65	23.19	-63.05	67.18	290
B50RMa	34.94	57.17	-44.26	72.31	322
NMa	18.01	0.0	0.0	0.0	0
WMa	95.41	0.0	0.0	0.0	0
RCIE	39.92	58.66	26.98	64.56	25
JCIE	81.26	-2.17	67.76	67.79	92
GCIE	52.23	-42.26	11.75	43.87	164
BCIE	30.57	1.15	-46.84	46.87	271

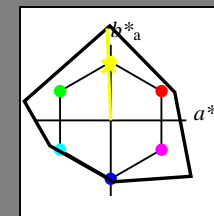
## Ausgabe: Farbmatisches Reflexions-System NCS11

für Buntton  $h^* = lab^*h = 92/360 = 0.256$  $lab^*ich$  und  $lab^*nch$ 

D65: Buntton J

LCH\*Ma: 90 122 92

rgb\*Ma: 0.97 1.0 0.0

Dreiecks-Helligkeit  $t^*$ 

%Umfang

 $u^*_{rel} = 149$ 

%Regularität

 $g^*_{H,rel} = 46$  $g^*_{C,rel} = 65$ 

## NCS11; adaptierte CIELAB-Daten

	$L^*=L^*_a$	$a^*_a$	$b^*_a$	$C^*_{ab,a}$	$h^*_{ab,a}$
RMa	47.15	84.64	37.25	92.48	24
JMa	91.37	-1.27	125.03	125.03	91
GMa	63.07	-114.28	25.35	117.06	167
G50BMa	59.47	-80.6	-33.45	87.28	203
BMa	49.01	3.65	-81.19	81.28	273
B50RMa	44.06	106.09	-73.93	129.32	325
NMa	10.99	0.0	0.0	0.0	0
WMa	95.41	0.0	0.0	0.0	0
RCIE	39.92	58.69	27.98	65.01	25
JCIE	81.26	-2.9	71.56	71.62	92
GCIE	52.23	-42.45	13.59	44.59	162
BCIE	30.57	1.35	-46.48	46.51	272

1,00

0,75

0,50

0,25

0,00

 $n^* = 1,00$ 

0,25

 $n^* = 0,50$ relative Buntheit  $c^*$  $n^* = 0,00$ Schwarzheit  $n^*$ 

1,00

0,75

0,50

0,25

0,00

 $n^* = 1,00$ 

0,25

 $n^* = 0,50$  $n^* = 0,25$  $n^* = 0,00$ Schwarzheit  $n^*$ relative Buntheit  $c^*$ 

TG630-7, 3stufige Reihen für konstanten CIELAB Buntton 92/360 = 0.255 (links)

5stufige Reihen für konstanten CIELAB Buntton 92/360 = 0.256 (rechts)

BAM-Prüfvorlage TG63; Farbmatrik-Systeme ORS18 & ORS18 input:  $olv^* setrgbcolor$ 

D65: 3 und 5stufige Farbreihen für 10 Bunttöne

output: Startup (S) data dependend



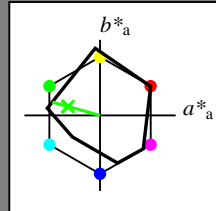
## Eingabe: Farbmatisches Reflexions-System MRS18

für Buntton  $h^* = lab^*h = 164/360 = 0.457$  $lab^*ich$  und  $lab^*nch$ 

D65: Buntton G

LCH\*Ma: 56 66 164

rgb\*Ma: 0.1 1.0 0.0

Dreiecks-Helligkeit  $t^*$ 

%Umfang

 $u^*_{rel} = 91$ 

%Regularität

 $g^*_{H,rel} = 41$  $g^*_{C,rel} = 52$ 

## MRS18; adaptierte CIELAB-Daten

	$L^*=L^*_a$	$a^*_a$	$b^*_a$	$C^*_{ab,a}$	$h^*_{ab,a}$
RMa	49.63	66.96	38.37	77.18	30
JMa	90.7	-6.36	88.75	88.98	94
GMa	52.11	-69.73	9.44	70.37	172
G50BMa	45.03	-36.57	-28.47	46.36	218
BMa	36.65	23.19	-63.05	67.18	290
B50RMa	34.94	57.17	-44.26	72.31	322
NMa	18.01	0.0	0.0	0.0	0
WMa	95.41	0.0	0.0	0.0	0
RCIE	39.92	58.66	26.98	64.56	25
JCIE	81.26	-2.17	67.76	67.79	92
GCIE	52.23	-42.26	11.75	43.87	164
BCIE	30.57	1.15	-46.84	46.87	271

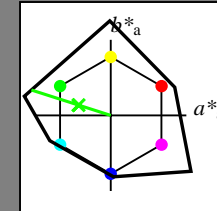
## Ausgabe: Farbmatisches Reflexions-System NCS11

für Buntton  $h^* = lab^*h = 162/360 = 0.451$  $lab^*ich$  und  $lab^*nch$ 

D65: Buntton G

LCH\*Ma: 65 110 162

rgb\*Ma: 0.08 1.0 0.0

Dreiecks-Helligkeit  $t^*$ 

%Umfang

 $u^*_{rel} = 149$ 

%Regularität

 $g^*_{H,rel} = 46$  $g^*_{C,rel} = 65$ 

## NCS11; adaptierte CIELAB-Daten

	$L^*=L^*_a$	$a^*_a$	$b^*_a$	$C^*_{ab,a}$	$h^*_{ab,a}$
RMa	47.15	84.64	37.25	92.48	24
JMa	91.37	-1.27	125.03	125.03	91
GMa	63.07	-114.28	25.35	117.06	167
G50BMa	59.47	-80.6	-33.45	87.28	203
BMa	49.01	3.65	-81.19	81.28	273
B50RMa	44.06	106.09	-73.93	129.32	325
NMa	10.99	0.0	0.0	0.0	0
WMa	95.41	0.0	0.0	0.0	0
RCIE	39.92	58.69	27.98	65.01	25
JCIE	81.26	-2.9	71.56	71.62	92
GCIE	52.23	-42.45	13.59	44.59	162
BCIE	30.57	1.35	-46.48	46.51	272

1,00

0,75

0,50

0,25

0,00

 $n^* = 1,00$ 

0,25

 $n^* = 0,50$ 

0,75

1,00

relative Buntheit  $c^*$ Schwarzheit  $n^*$ 

1,00

0,75

0,50

0,25

0,00

 $n^* = 1,00$ 

0,25

 $n^* = 0,50$  $n^* = 0,25$  $n^* = 0,00$ relative Buntheit  $c^*$ Schwarzheit  $n^*$ 

TG630-7, 3stufige Reihen für konstanten CIELAB Buntton 164/360 = 0.457 (links)

5stufige Reihen für konstanten CIELAB Buntton 162/360 = 0.451 (rechts)

BAM-Prüfvorlage TG63; Farbmatrik-Systeme ORS18 & ORS18 input:  $olv^* setrgbcolor$ 

D65: 3 und 5stufige Farbreihen für 10 Bunttöne

output: Startup (S) data dependend

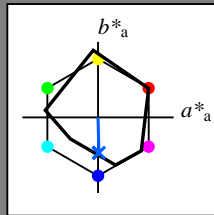
## Eingabe: Farbmatisches Reflexions-System MRS18

für Buntton  $h^* = lab^*h = 271/360 = 0.754$  $lab^*ich$  und  $lab^*nch$ 

D65: Buntton B

LCH\*Ma: 40 50 271

rgb\*Ma: 0.0 0.37 1.0

Dreiecks-Helligkeit  $t^*$ 

%Umfang

 $u^*_{rel} = 91$ 

%Regularität

 $g^*_{H,rel} = 41$  $g^*_{C,rel} = 52$ 

## MRS18; adaptierte CIELAB-Daten

	$L^*=L^*_a$	$a^*_a$	$b^*_a$	$C^*_{ab,a}$	$h^*_{ab,a}$
RMa	49.63	66.96	38.37	77.18	30
JMa	90.7	-6.36	88.75	88.98	94
GMa	52.11	-69.73	9.44	70.37	172
G50BMa	45.03	-36.57	-28.47	46.36	218
BMa	36.65	23.19	-63.05	67.18	290
B50RMa	34.94	57.17	-44.26	72.31	322
NMa	18.01	0.0	0.0	0.0	0
WMa	95.41	0.0	0.0	0.0	0
RCIE	39.92	58.66	26.98	64.56	25
JCIE	81.26	-2.17	67.76	67.79	92
GCIE	52.23	-42.26	11.75	43.87	164
BCIE	30.57	1.15	-46.84	46.87	271

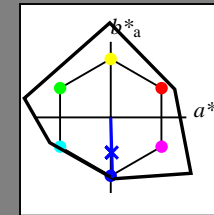
## Ausgabe: Farbmatisches Reflexions-System NCS11

für Buntton  $h^* = lab^*h = 272/360 = 0.755$  $lab^*ich$  und  $lab^*nch$ 

D65: Buntton B

LCH\*Ma: 49 80 272

rgb\*Ma: 0.0 0.02 1.0

Dreiecks-Helligkeit  $t^*$ 

%Umfang

 $u^*_{rel} = 149$ 

%Regularität

 $g^*_{H,rel} = 46$  $g^*_{C,rel} = 65$ 

## NCS11; adaptierte CIELAB-Daten

	$L^*=L^*_a$	$a^*_a$	$b^*_a$	$C^*_{ab,a}$	$h^*_{ab,a}$
RMa	47.15	84.64	37.25	92.48	24
JMa	91.37	-1.27	125.03	125.03	91
GMa	63.07	-114.28	25.35	117.06	167
G50BMa	59.47	-80.6	-33.45	87.28	203
BMa	49.01	3.65	-81.19	81.28	273
B50RMa	44.06	106.09	-73.93	129.32	325
NMa	10.99	0.0	0.0	0.0	0
WMa	95.41	0.0	0.0	0.0	0
RCIE	39.92	58.69	27.98	65.01	25
JCIE	81.26	-2.9	71.56	71.62	92
GCIE	52.23	-42.45	13.59	44.59	162
BCIE	30.57	1.35	-46.48	46.51	272

1,00

0,75

0,50

0,25

0,00

 $n^* = 1,00$  $n^* = 0,50$  $n^* = 0,00$ Schwarzheit  $n^*$ 

0,25

0,50

0,75

1,00

relative Buntheit  $c^*$ 

1,00

0,75

0,50

0,25

0,00

 $n^* = 1,00$  $n^* = 0,75$  $n^* = 0,50$  $n^* = 0,25$  $n^* = 0,00$ Schwarzheit  $n^*$ 

0,25

0,50

0,75

1,00

relative Buntheit  $c^*$ 

TG630-7, 3stufige Reihen für konstanten CIELAB Buntton 271/360 = 0.754 (links)

5stufige Reihen für konstanten CIELAB Buntton 272/360 = 0.755 (rechts)

BAM-Prüfvorlage TG63; Farbmatrik-Systeme ORS18 & ORS18 input:  $olv^* setrgbcolor$ 

D65: 3 und 5stufige Farbreihen für 10 Bunttöne

output: Startup (S) data dependend